

## بررسی تغییرات ریخت پویایی مصبهای جزرومدی مطلوب تحت اثر توأم جزر و مد و امواج عمود بر ساحل با استفاده از شبیه سازی عددی

منیره سادات کیایی<sup>۱\*</sup>، علی کرمی خانیکی<sup>۲</sup>، عباسعلی علی اکبری بیدختی<sup>۳</sup>

تاریخ دریافت: ۱۳۹۰/۱۰/۱۰ تاریخ پذیرش: ۱۳۹۱/۵/۱۲

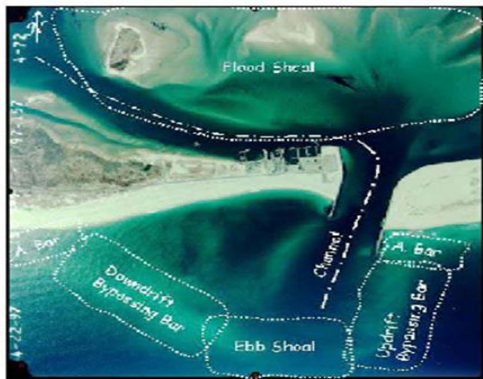
### چکیده

مصطفها پهنه‌های تأثیرگذار بر مهار کردن حرکات رسوب و توزیع آن در سواحل می‌باشند. لذا، شناسایی عوامل مؤثر بر آب پویایی مصبهای انتقال و از عوامل مهم در تعیین هندسه و شکل سواحل و مصبهای محسوب می‌شوند، حائز اهمیت اند بسیارند. موج و جزر و مد از عوامل اصلی شکل دهنده مصبهای می‌باشند. در این تحقیق، اثر هر دو عامل به صورت توأم، مورد بررسی قرار می‌گیرد. بدین منظور، یک حوضچه‌ی ساحلی، که از طریق یک مصب به دریای باز متصل می‌شود، در محیط نرم افزار مایک ۲۱ همانندسازی شده است. در این شبیه، از یک شبکه‌ی مثلثی ساختار نیافته، با ابعاد ۱۰ تا ۵۰ متری، در یک شبیه تفاضل محدود با گام زمانی ۲ ثانیه استفاده شده است. بطور همزمان، موج و جزر و مد با ارتفاع‌های مختلف، به طرف دهانه فرستاده می‌شود. الگوی جریان نشان می‌دهد که با شبیه سازی در حالت توأم، ریخت‌شناسی مصب به گونه‌ای تغییر می‌کند که پس از گذشت زمان، به حالت تعادل می‌رسد، که در این صورت، مصب، مطلوب خواهد بود. علاوه بر آن، به وسیله‌ی شاخص بدون بعد  $H_w/H_t$  فرستنج غالب در مصب را می‌توان تعیین کرد. برای محاسبه‌ی عوارض تهنشینی در مصب، ابتدا هر یک را بطور جداگانه، تحت موج تنها و جزر و مد تنها، تعیین کرده، سپس مجموع مقادیر را محاسبه می‌کنیم. مقادیر به دست آمده با مقادیر در حالت توأم، یکسان هستند.

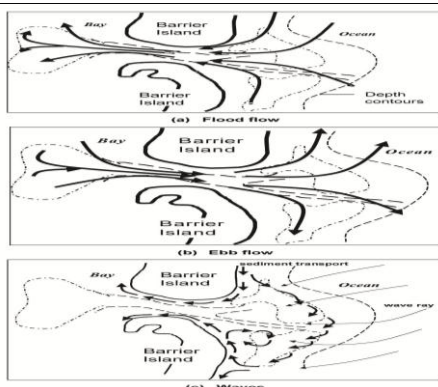
**واژه‌های کلیدی:** مصب، آب پویایی، رسوبگذاری، مایک ۲۱.

۱- دانشجوی دکترای فیزیک دریا، دانشگاه آزاد اسلامی واحد علوم تحقیقات تهران  
 ۲- مدرس دانشگاه آزاد اسلامی واحد علوم تحقیقات تهران و عضویّات علمی پژوهشکده حفاظت خاک و آبخیزداری  
 ۳- مدرس دانشگاه آزاد اسلامی واحد علوم تحقیقات تهران  
 \*- نویسنده مسئول: nahid\_sadatkiaee@yahoo.com

الگوی رسوبگذاری و فرسایش نیز می‌گردد. همان‌طور که در شکل ۱ نشان داده شده است، دو عارضه‌ی رسوبی مهم در مصبهای دیده می‌شوند که عبارتند از: مصب رسوب برگشتی (ebb shoal) و مصب ناشی از جریان مدلی (flood shoal).



شکل ۱- جریان‌های مختلف در مصب‌ها



شکل ۲- عارضه‌های رسوبی در مصب‌ها

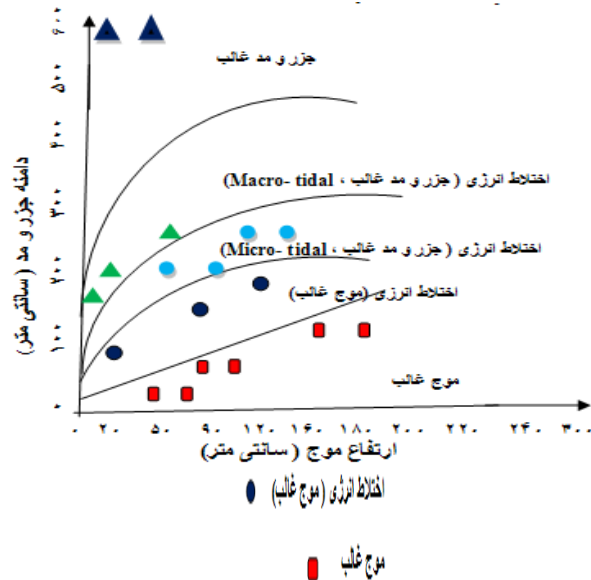
شکل ۲، عارضه‌های رسوبی تابع متغیرهای مختلف از جمله: دامنه‌ی جزر و مد، ارتفاع امواج، جریانهای کرانه‌ای ناشی از موج و دانه بندی رسوبات می‌باشد. از نظر تأثیر جزر و مد، مصبهای را می‌توان به سه گروه اصلی جزر کوچک<sup>۱</sup> (دامنه‌ی جزر و مد بین ۰ تا ۲ متر)، جزر میانی<sup>۲</sup> دامنه‌ی جزر و مد بین ۲ تا ۴ متر) و جزر بزرگ<sup>۳</sup> (دامنه‌ی جزر و مد بین ۴ تا ۶ متر) تقسیم نمود. در شکل ۲ انواع مختلف عوارض رسوبی ناشی از جزر و مد نشان داده شده‌اند. مشخصات امواج در ساحل، شامل ارتفاع و جهت موج نیز تأثیر قابل ملاحظه‌ای بر عوارض رسوبی در مصبهای دارد. این تأثیر از دو جهت قابل بررسی است؛ از

1-micro- tidal  
2-meso- tidal  
3-macro- tidal

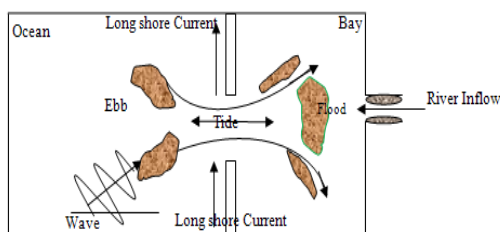
#### مقدمه

مصطفی‌ها به عنوان محل اتصال آبراهه‌ها و خلیج‌ها به دریای آزاد نقش مهمی را در بهره‌برداری از منابع دریایی ایفا می‌کنند. عموماً به عنوان یکی از مهمترین معبرهای دریایی مورد استفاده‌ی شناورهای صیادی، تفریحی و تجاری قرار می‌گیرند. در این‌گونه موارد، وجود یک معبر پهن، ژرف و پایدار از اهمیت زیادی برخوردار است. تداخل دائمی جریانهای و امواج در مصبهای تأثیرات نامطلوبی بر ریخت شناسی مصبهای دارند. انباشتن رسوب در دهانه‌ی مصب باعث ایجاد کم عمقی و مشکل در تردد شناورهای می‌گردد، از این‌رو در بیشتر موارد، برای پایداری مصب نیاز به لایروبی دوره‌ای آن، و یا استفاده از سازه‌های محافظ نظیر بارانداز‌ها می‌باشد. شناختن دقیق فرایندهای رسوبی در مصبهای نه تنها به استفاده‌ی بهینه از این گذرگاههای حیاتی کمک می‌کند، بلکه هزینه‌ی نگهداری آنها، و نیز هزینه طرح‌های حفاظتی را به شدت کاهش می‌دهد. شناسایی عوامل مؤثر بر آب پویایی مصبهای که به عنوان فرایندهای انتقال می‌باشند، از عوامل مهم و تأثیرگذار در تعیین هندسه و شکل سواحل و مصبهای محاسب می‌شود. از جمله این عوامل می‌توان به اثر امواج و جزر و مد جریانهای دریایی که جریان ورودی به دریا رود به دریا، و در دهانه‌هایی که جریان ورودی به دریا وجود دارند، تداخل آب ورودی با جریانهای کرانه‌ای سبب رسوب گذاری در دهانه و کم عمق شدن آن منطقه می‌گردد، که این امر، مشکلاتی را برای تردد شناورهای در آبراهه‌های ورودی به وجود می‌آورد. برای جلوگیری از شکل گیری و ایجاد این پدیده‌ها، شناسایی مشخصه‌های امواج و جریانهای دریایی ناشی از باد، موج و جزر و مد و همچنین اثر متقابل آنها بر انتقال رسوب حائز اهمیت بسیار است، بنابراین، ضروری است که از طریق همانندسازی فرایندهای انتقال، آثار تغییرات ناشی از این پدیده، محقق و شناسایی گردد. نتیجه این تحقیق می‌تواند بطور مستقیم به وسیله‌ی مهندسین و پژوهشگران برای طراحی سازه‌های ساحلی مورد استفاده قرار گیرد. شکل ۱ وضعیت جریانهای جزر و مدی، و جریانهای ناشی از امواج در مصبهای طبیعی (بدون حفاظ) را نشان می‌دهد. پیچیدگی جریان در مصب، باعث پیچیده شدن

از نظر شدت نسبی موج و جزر و مد، مصب‌ها را در سه گروه: جزر و مد غالب<sup>۱</sup>، موج غالب<sup>۲</sup> و ترکیبی<sup>۳</sup> می‌توان طبقه‌بندی کرد. شکل ۵، محدوده‌ی هر یک از این گروه‌ها را نشان می‌دهد (Davis and Hayes, 1979).



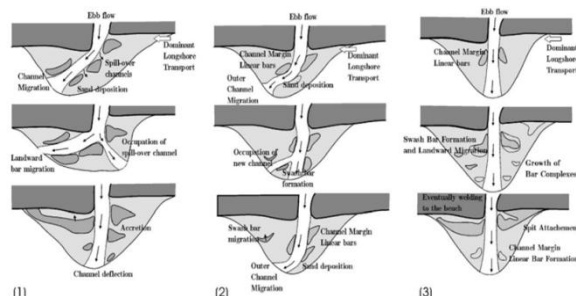
شکل ۵- طبقه‌بندی مصب‌ها از نظر تأثیر امواج و جزر و مد .(Davis and Hayes, 1980)



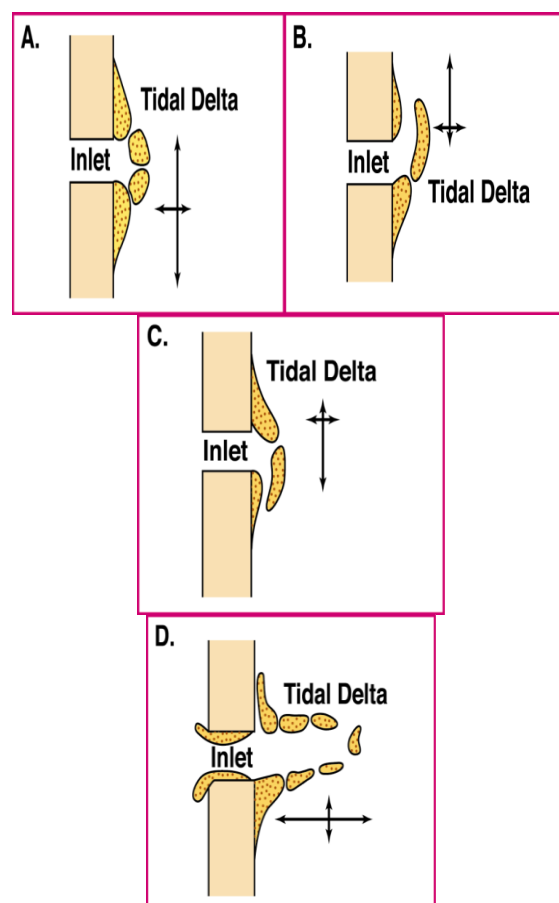
شکل ۶- بر همکنش موج - جریان در یک مصب جزر و مدی .(Ding et al., 2010)

با توجه به شکل ۶، برخورد امواج با جریان در مصب‌های جزر و مدی، منجر به تیزی موج و کاهش طول آن می‌شود که این امر در کشتیرانی بسیار خطرناک است. بر همکنش قوی میان جریان و امواج باعث تغییر ریخت شناسی مصب و نهرهای ناوبری می‌شود. در حالت توأم، با

یک طرف تداخل موج و جریانهای جزر و مدی بر شکل عارضه‌ها تأثیر گذار است، از طرف دیگر، جریانهای کرانه‌ای ناشی از موج باعث تغییر در شکل این عارضه‌ها می‌شود. در شکل‌های ۳ و ۴ تأثیر امواج و جریانهای کرانه‌ای بر عوارض رسوبی در مصب‌ها به صورت خلاصه ارائه شده است.



شکل ۳- تأثیر جریانهای کرانه‌ای ناشی از موج بر عارضه‌های رسوبی ( Fitz Gerald et al., 2000)



شکل ۴- تأثیر موج و مصب‌های جزر و مد غالب بر روی مصب.

1 -tide dominated

2- wave dominated

3- Mixed Energy

روی ناحیه‌ی رسوب برگشتی<sup>۲</sup> مواد بالا دست را حرکت داده و این ناحیه را با فرسایش تپه‌ها و مواد ته نشین شده مسطح می‌کند. برای شرایط واداشت، امواج غالب می‌باشند و جریانهای جزرومدمی، با تغییر جهت جریان‌های روزانه‌ی مدب، ریخت شناسی ورودی مصب و کناره‌های بالا دست رسوب برگشتی را تغییر می‌دهند. بنابراین، شبیه سازی امواج و جریان جزرومدمی و انتقال رسوب، به صورت توأم، یک مصب مطلوب را می‌سازد.

موریس و همکاران (۲۰۰۱) به اندازه‌ی گیری کیفی و کمی ریخت شناسی مصب Barranova در پرتقال تحت تأثیر جزر و مد و امواج با استفاده از عکسبرداری که طی ۷ ماه انجامید، اقدام نمودند. نتایج، تحت تأثیر فراسنج‌های موجی، حالت مختلط، امواج و تغییر تراز آب ناشی از جزر و مد به دست آمدند. آنها دریافتند که وقتی توفان وجود دارد، زبانه‌های سدی در غرب و کناره‌های پایین دست مصب، فرسایش می‌یافته، و آهنگ فرسایش آن ۳ متر در روز می‌باشد. این در حالی است که میانگین فرسایش برای حالت توأم، ۰.۴۷ متر در روز است، که تقریباً ۸۰ درصد فرسایش آن ناشی از توفان می‌باشد. هنگام فرسایش، پهنه‌ی مصب در مدت ۷ ماه، ۶۰ متر افزایش می‌یابد. موقعیت و مکان مصب مستقیماً به شرایط موج مربوط است. موقعیت نهر در جهت جنوب شرقی به طرف جزیره Ihada Barreta در آمریکا است که به اندازه‌ی ۷۵ متر (۳۵ متر در روز) با تغییر جهت جریان کرانه‌ای تغییر می‌کند. این منطقه تحت اثر موج کوچک و جریانهای جزر و مدب (نیروهای غالب در منطقه) که از جنوب شرقی می‌آیند، به صورت پایدار باقی می‌مانند.

Arcachon (۲۰۰۱) مصب Cayoca تحت شرایط جزر و مد، امواج و حالت توأم، با استفاده از شبیه دو بعدی افقی، ریخت شناسی مصب را که شامل آب پویایی، انتقال رسوب، امواج و تغییرات بستر بود، همانند سازی نمود. عمق مصب ۳ متر و ابعاد آن از طرف ساحل ۲۰ کیلومتر طول و ۸ کیلومتر عرض است وقتی که یک یا دو نهر در بین مصب و اقیانوس تشکیل می‌شود. اجرای شبیه از سال ۱۹۹۲ شروع گردید و نشان داد که باز کردن یک نهر جدید در انتهای زبانه‌های شنی sand spit در شرایط

ایجاد گودالهای غیر عادی در نهرها باعث افزایش کم عمقی در خارج از مصب می‌گردد. دینگ و وانگ (۲۰۱۰) انتقال و تغییر شکل امواج را در مصبهای جزر و مدب را در چنین جریانهای با استفاده از شبیه CCHE2D-coast در مدت اساعت همانند سازی نمودند. از معادلات امواج برای محاسبه فرایندهای ناشی از امواج، مانند تفرق، شکستن، کم عمقی و اصطکاک بستر بهره بردن. سپس، شبیه را با شبیه آب پویایی جفت نموده و برای چند ماه شبیه کردند. پس از آن با داده‌های میدانی سال ۱۹۹۹ در بندر Gray مقایسه و واسنجی کردند. نتایج، بیانگر آن است که شبیه امواج توأم، به خوبی، تغییرات تنایی ارتفاع امواج را در ایستگاههای مختلف داخل نهر، و نیز اثرات نوسانهای امواج را که تابع دوره‌های جزر و مدب در حوضچه است، به خوبی نشان می‌دهند. بدون در نظر گرفتن شرایط توأم جزر و مد و امواج، نمی‌توان مؤلفه‌های تنایی دراز مدت امواج را در مصبهای لحاظ نمود.

فیتز جرالد و همکاران (۲۰۰۱) فرایندهای فرسایش داخلی مصبه را مورد بررسی قرار دادند. بنابراین تحقیق، عامل اصلی فرسایش، امواج دوره کوتاه به همراه جریان جزرومدمی است. در این تحقیق، از شبیه فیزیکی برای شرایط مختلف: امواج تنها، جزر و مدب با امواج و تغییر تراز آب استفاده می‌شد. نتایج به دست آمده نشان می‌دهند که میزان فرسایش در حالت امواج تنها نسبت به اثر توأم جزرومدم و امواج، کمتر می‌باشد.

میلیتلو و کراس (۲۰۰۳) نسبت به همانندسازی یک مصب ۱۵ km و ۵ m و عمق ۵ km اقدام کردند. برای شبیه سازی این منطقه ساحلی ابعاد حوضچه ۱/۵ km × ۱/۵ km در نظر گرفته شد. ابعاد مصب، خلیج و نهر تقریباً همان ابعاد مصب Shineock در نیویورک، می‌باشد. شبیه سازی برای امواج و جزر و مدب به تنها یک و در حالت توأم با استفاده از شبیه ST WAVE(2D) انجام شده است. نتیجه این تحقیق نشان می‌دهد که امواج رسوبات را در مقابل قسمت بالا دست بارانداز ته نشین کرده، و بستر را در نزدیک ساحل، در لبه‌های پایین دست، فرسایش<sup>۱</sup> می‌دهند. همچنین، شکستن امواج، بر

یک سامانه‌ی همانند سازی پویا برای کاربردهای ساحلی در مصبهای و محیط‌های رودخانه‌ای می‌باشد. برای شبیه‌سازی انتقال رسوب ناشی از موج و جزر و مد، از زیر Couple Model FM مجموعه‌های شبیه برنامه اصلی که شامل برنامه آب پویایی یا جریان Sand (Hydrodynamic, HD)، انتقال رسوب (Spectral wave, ST) و طیفی موج (transport, ST SW) استفاده شده است. همچنین، از طریق ایجاد یک رابطه بین این سه مدول، همانندسازی نحوه بازخورد کامل بین تغییرات تراز بستر بر اثر گردش‌های ناشی از موج و جریان را به صورت توانم ارائه می‌دهد. در این تحقیق، این شبیه دو بعدی استفاده شده است.

### طراحی و نحوه اجرای شبیه

برای بررسی اثر توانم موج و جریان جزر و مدی بر الگوی جریان ناشی از موج و تأثیر آن بر رسوب گذاری و فرایش در مصب، از حوضچه‌ای که به‌وسیله‌ی شبیه سازی فیزیکی مطالعه شده، بهره‌وری می‌گردد. این مصب تحت اثر موج با ارتفاع‌های مختلف ۰/۷۵، ۱/۵ و ۲/۲ متر و دوره‌ی ثابت ۸ ثانیه، جزر و مد با طول‌های ۱ متر (ریزمقیاس) و ۲/۵ متر (میان مقیاس) و ۴/۵ متر (بزرگ مقیاس) با دوره‌ی نیم روزانه (۴۴۷۵ ثانیه) به صورت جداگانه و توانم، مورد بررسی قرار می‌گیرد. ابعاد حوضچه و مصب در شکل ۶ نشان داده شده‌اند. شکل ۷ پستی و بلندی بستر و شبکه بندی آن جهت استفاده در شبیه سازی عددی را نشان می‌دهد.

جدول ۱- فرآینجهای شبیه سازی

فرآینجهای	مقادیر
طول، عرض، عمق مصب	۱۶، ۸۰۰، ۸۰۰ متر
گره‌های، جزء‌های، تعداد لایه	۲، ۱۸۳۴۵، ۸۹۸۷
زمان شبیه سازی، گام زمانی	۳ روز، ۲ ثانیه
شرط اولیه	Cold start، رجوع به جدول ۲
شرطیت مرز باز	طول جزر و مد، T= 12hr
D <sub>50</sub> ( قطر رسوب )	۰.۲mm
چگالی آب	۲۶۵ kg/m <sup>3</sup>
سرعت سقوط ذرات	۰.۰۶m/s
تشنج حراري	۰.۰۸
تخلخل	۰.۰۵
زیری بستر	۲۲ (m <sup>2</sup> /s)
گرانروی افقی گردابه ( ضرب لزحت افقی گردابه )	۰.۲۸ (m <sup>2</sup> /s)
شبیب بستر	۰.۰۰۴۴
حد بیشتر عدد جریان	۰.۸

بزرگترین دامنه‌ی جزر و مدی به همراه جریان کرانه ای بهترین نتایج را می‌دهد. موج و جزر و مد بهترین نقش را در مدت زمان طولانی، برای تغییر ریخت شناسی مصب بازی می‌کنند. همچنین، نشان می‌دهد که تولید نهر و سامانه‌های بارگذاری با مشاهدات قبلی قابل مقایسه است، بخصوص وقتی که حوضچه به اقیانوس متصل نشود. در این حالت، جزر و مد و موج در اجرای شبیه، در یک دوره‌ی ده ساله، ثابت در نظر گرفته می‌شود.

چن و همکاران (۲۰۱۲) الگوی جریان و رسوبگذاری تحت اثر جزر و مد تنها، موج تنها و حالت توانم، برای دو نوع مصب مطلوب و طبیعی را با استفاده از شبیه عددی Near CoM-TVD مورد بررسی قرار دادند. الگوی جریان و رسوبگذاری نشان داد که، در حالت جزر و مد تنها، برای مصب مطلوب و هم مصب طبیعی، دو گردابه در طرفین نهر به وجود می‌آید. همچنین، در حالت موج تنها، ناپایداری بستر فقط در مصب طبیعی اتفاق می‌افتد و در حالت توانم، دو گردابه با چرخش معکوس را در نزدیکی نهر برای مصب طبیعی و مطلوب مشاهده کردند.

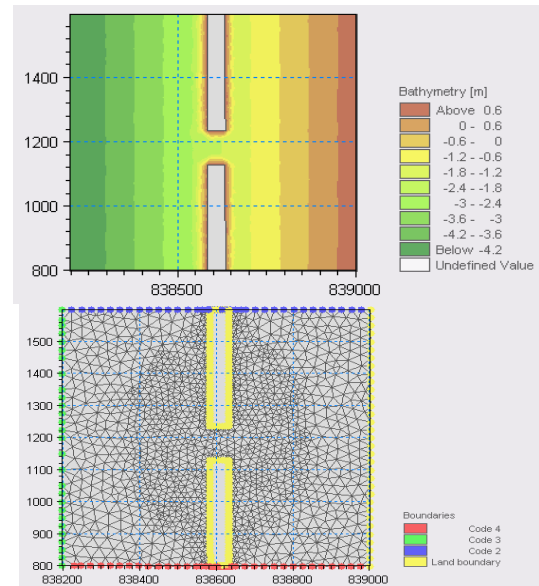
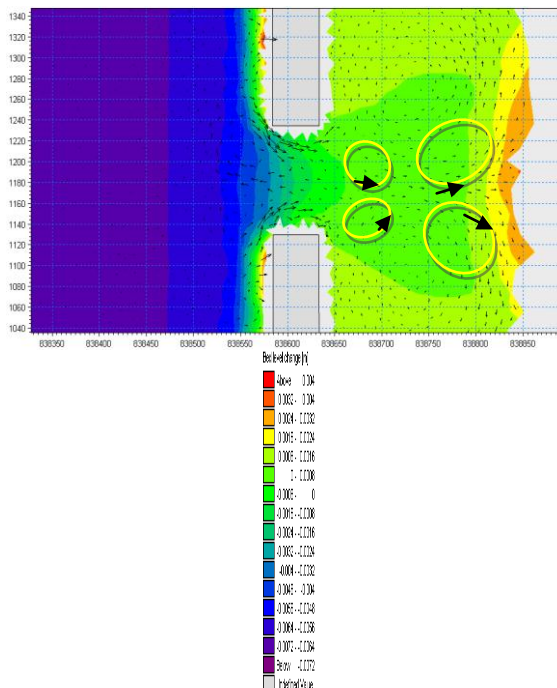
در این تحقیق، ضمن بررسی مطالعات سایر محققین، اثر موج و جریان جزر و مدی را بر الگوی فرایش و رسوبگذاری در مصب را با استفاده از نرم‌افزار Mike 21/3 مورد بحث و بررسی قرار می‌دهیم. برای این منظور یک نهر جزر و مدی، که از یک طرف به یک حوضچه و از طرف دیگر به دریا مشرف است، جهت مطالعه‌ی الگوی جریان و رسوبگذاری تحت جریان جزر و مدی و امواج عمودی بر ساحل، همانند سازی می‌شود.

### مواد و روشهای

#### شبیه عددی مورد استفاده

برای دستیابی به اهداف تحقیق از نرم‌افزار همانند سازی Mike 21 که به‌وسیله‌ی مؤسسه‌ی هیدرولیک دانمارک با همکاری مؤسسه‌ی کیفیت آب پایه‌ریزی و توسعه یافته، استفاده شده است. این نرم‌افزار از قابلیت‌های محاسباتی و نموداری بالایی در زمینه همانند سازی فرایندهای پیچیده‌ی ساحلی در نواحی کم‌عمق، خلیجها و دریاها برخوردار است. برنامه مورد استفاده در این تحقیق، Mike 21/3 Coupled از جعبه نرم‌افزاری می‌باشد که

ناشی از موج و تغییرات تراز بستر تحت تأثیر جزر و مد با ارتفاع ۲/۵ متر نشان می‌دهد. برای بررسی اثر توأم بر الگوی جريان و رسوبگذاری و فرسایش در مصبهای، الگوی جريان (از حالت مد به جزر) و نیمراه آن را در امتداد مصب برای جزر و مد با ارتفاع ۲/۵ متر با تنابو ۱۲ ساعت و موج با ارتفاع ۱/۵ متر با تنابو ۸ ثانية رسم نمودیم که در شکل ۱۰ آورده شده است. شکل‌های ۱۱، ۱۲، ۱۳، به ترتیب، نیم رخهای تغییرات سرعت جريان و تغییر تراز بستر را در مقطع ۱ برای موج، جزر و مد و حالت توأم نشان می‌دهند. ابتدا به بررسی اثر هر یک از عوامل موج تنها، جزر و مد تنها بر الگوی جريان، و رسوبگذاری و فرسایش پرداخته، سپس حالت توأم را مورد بررسی قرار می‌دهیم. در انتهای، تأثیر عامل ارتفاع بر روی الگوهای مورد ارزیابی قرار خواهد گرفت. این الگوها به شرح زیرند:



شکل ۷-الف، شبکه بندی شبیه (مقطع ۱)

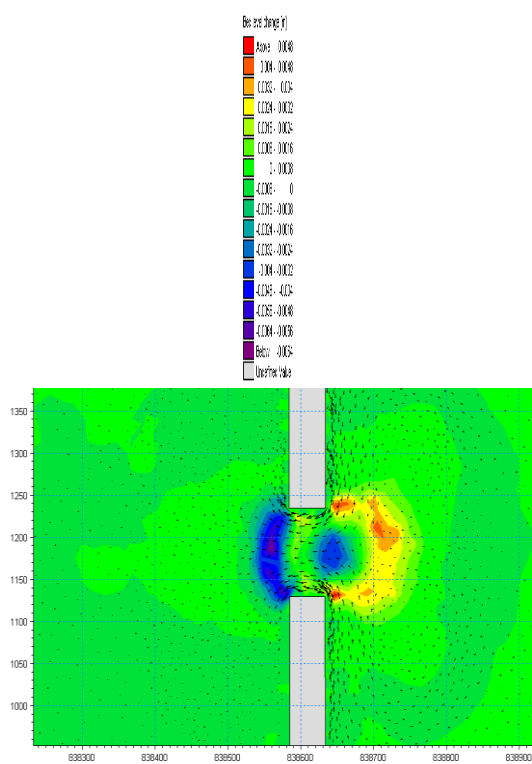
شکل ۷-ب، مصب مورد مطالعه

جدول ۲- مشخصات موج و جزرومدم در هر یک از مراحل اجرا  
بر اساس شبیه Hayes, 1976

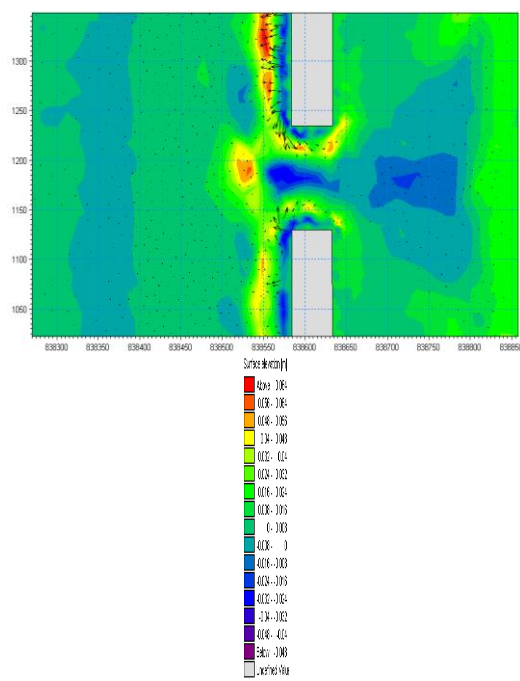
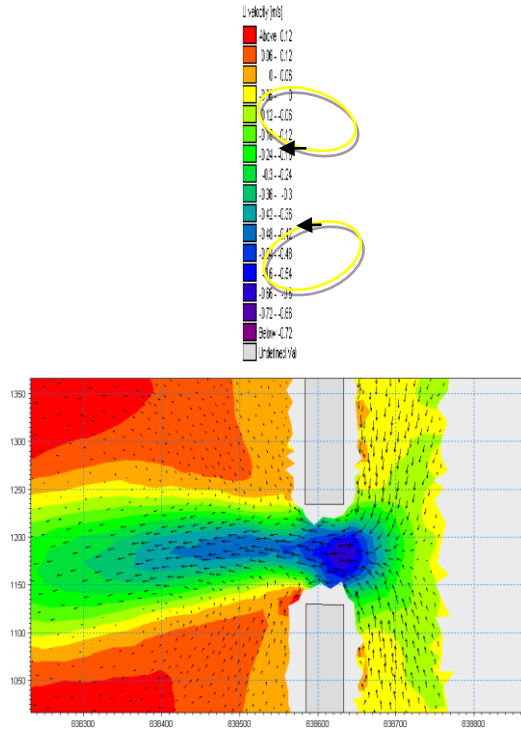
شماره‌ی اجرا (ترکیب)	طول جزر و مدی (متر)	ارتفاع موج (متر)	دوره‌ی جزر و مد (ساعت)	تنابو موج (ثانیه)	زاویه تابش موج
۱	۰	۰.۷۵	۱۲	۸	۹۰
۲	۰	۱.۵	۱۲	۸	۹۰
۳	۰	۲.۲	۱۲	۸	۹۰
۴	۱	۰	۱۲	۸	۹۰
۵	۱	۰.۷۵	۱۲	۸	۹۰
۶	۱	۱.۵	۱۲	۸	۹۰
۷	۱	۲.۲	۱۲	۸	۹۰
۸	۲.۵	۰	۱۲	۸	۹۰
۹	۲.۵	۰.۷۵	۱۲	۸	۹۰
۱۰	۲.۵	۱.۵	۱۲	۸	۹۰
۱۱	۲.۵	۲.۲	۱۲	۸	۹۰
۱۲	۴.۵	۰	۱۲	۸	۹۰
۱۳	۴.۵	۰.۷۵	۱۲	۸	۹۰
۱۴	۴.۵	۱.۵	۱۲	۸	۹۰
۱۵	۴.۵	۲.۲	۱۲	۸	۹۰

### نتایج اجرای شبیه

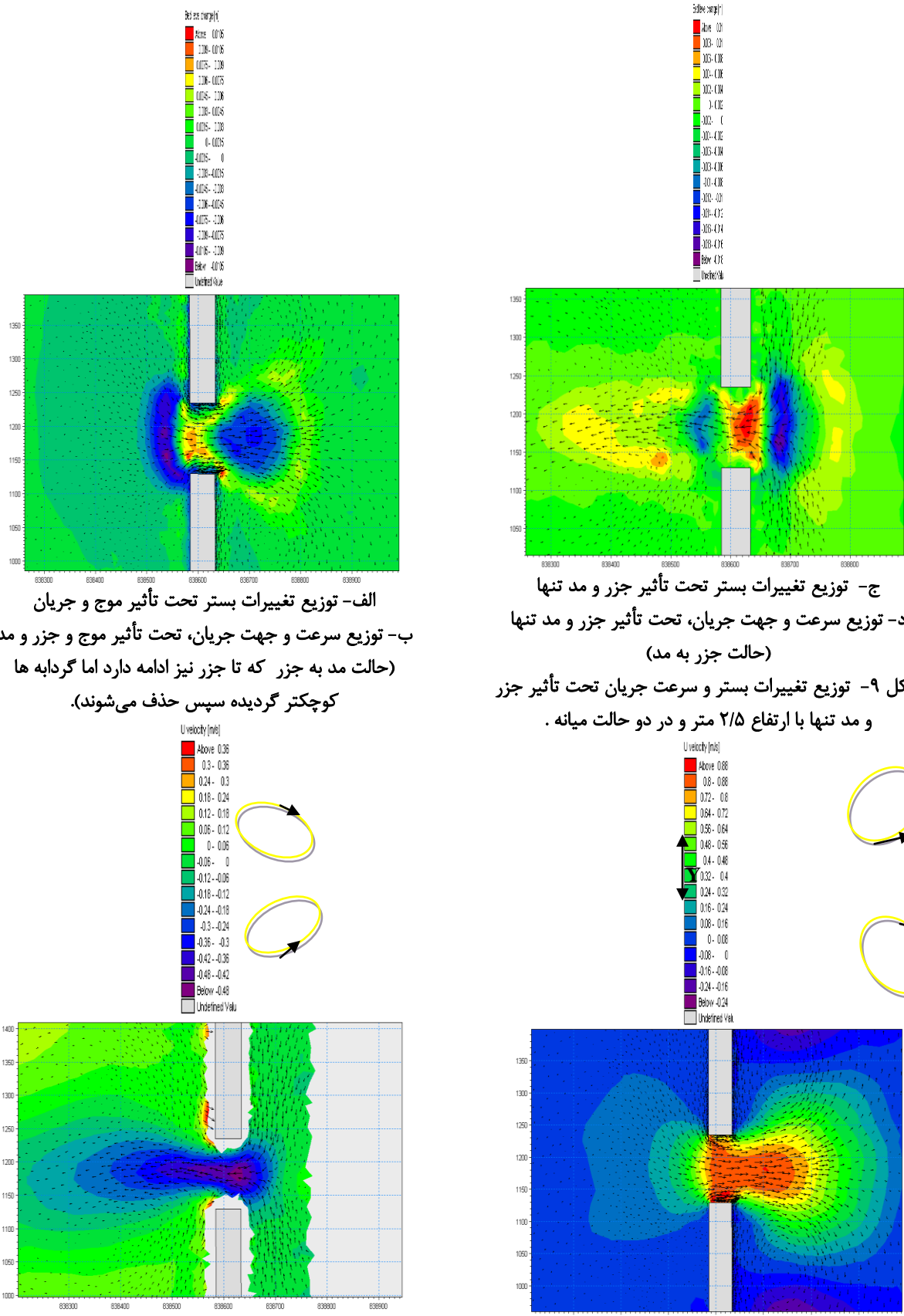
شکل ۸، توزیع تغییرات بستر (شکل ۸-الف) و سرعت جريان (شکل ۸-ب) را تحت تأثیر موج تنها با ارتفاع ۱/۵ متر، نمودار ۹-الف و ب، توزیع سرعت جريان

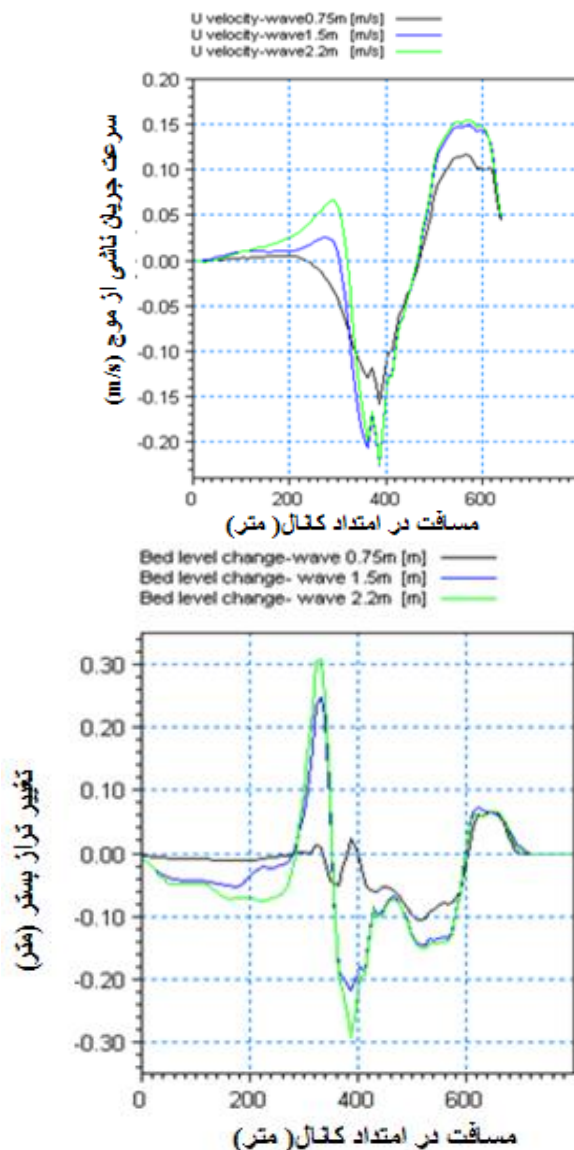


الف - توزیع تغییرات بستر تحت تأثیر جزر و مد تنها  
ب - توزیع تغییرات سرعت و جهت جریان، تحت تأثیر جزر و  
مد تنها (حالت مد به جزر).

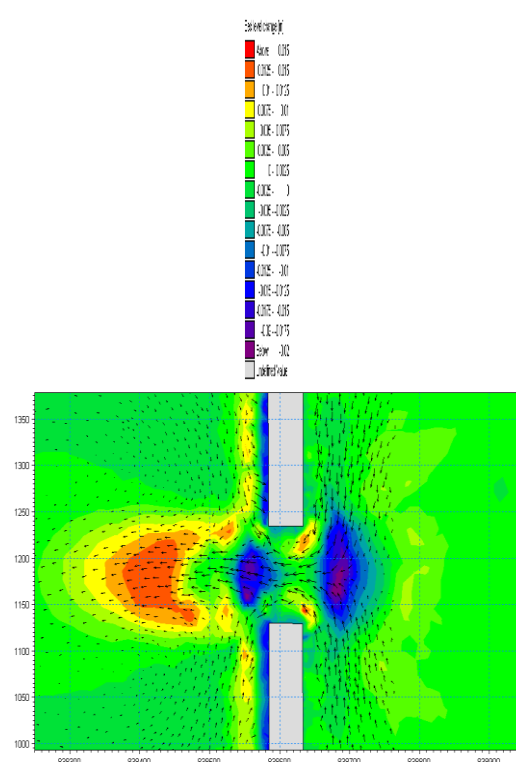


الف- توزیع تغییرات بستر تحت تأثیر موج تنها  
ب- توزیع تغییرات سرعت جریان تحت تأثیر موج تنها  
شکل ۸- توزیع تغییرات بستر و سرعت جریان تحت تأثیر موج  
تنها با ارتفاع ۱/۵ متر (بردارها جهت و سرعت جریان را نشان  
می دهند).

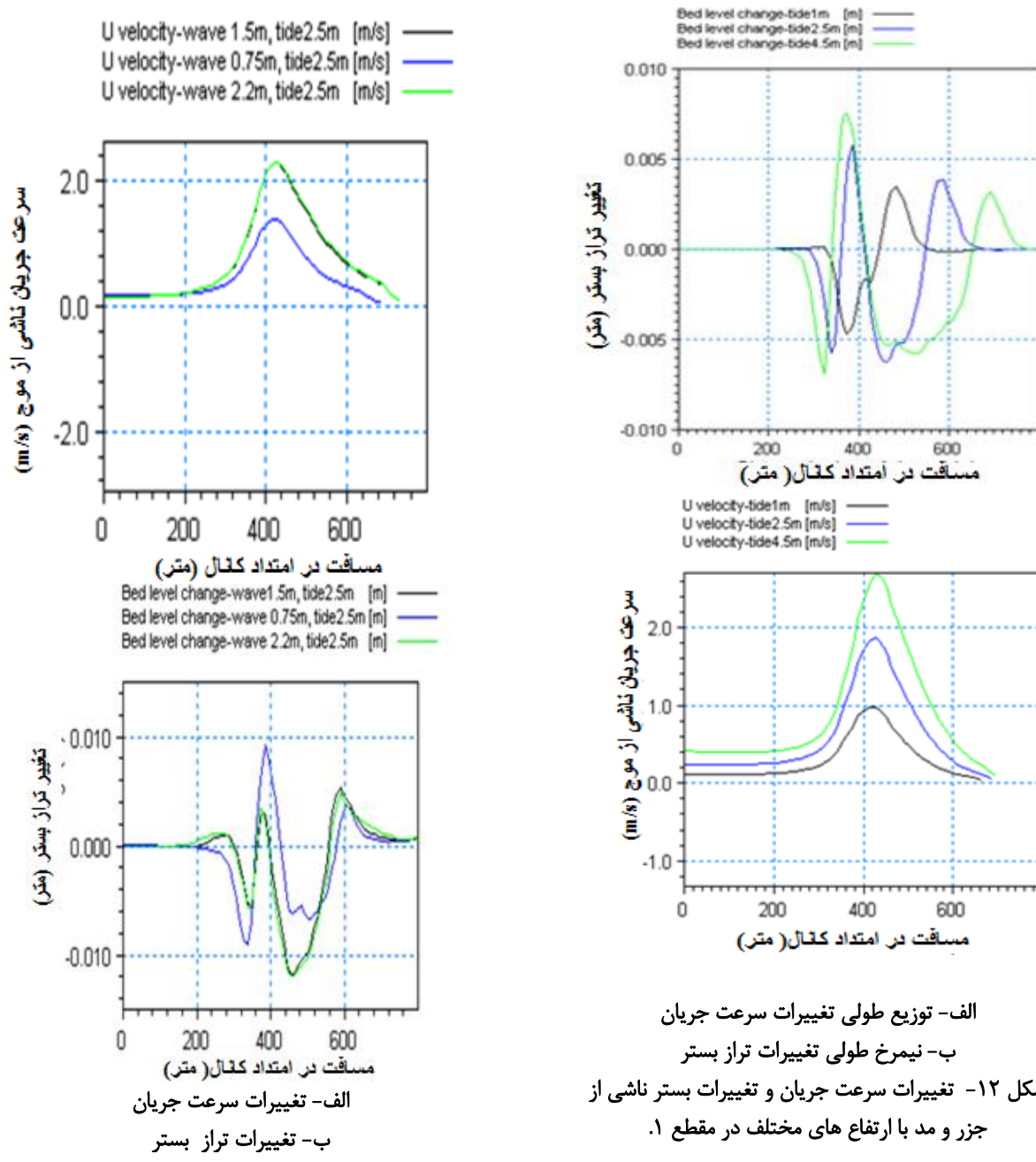




الف- تغییرات سرعت جریان.  
ب- نیميخ تغییرات تراز بستر.  
شکل ۱۱- تغییرات سرعت جریان و تغییرات بستر ناشی از  
موج در مقطع ۱.



ج- توزیع تغییرات بستر تحت تأثیر جزر و مد و موج  
د- توزیع سرعت و جهت جریان، تحت تأثیر جزر و مد و موج  
(حالت جزر به مد که تا مد نیز ادامه دارد اما گردابه ها کوچکتر  
گردیده، سپس حذف می شوند).  
شکل ۱۰- توزیع تغییرات بستر و سرعت جریان تحت تأثیر موج  
با ارتفاع ۱/۵ متر و جزر و مد با ارتفاع ۲/۵ متر در دو حالت  
میانه

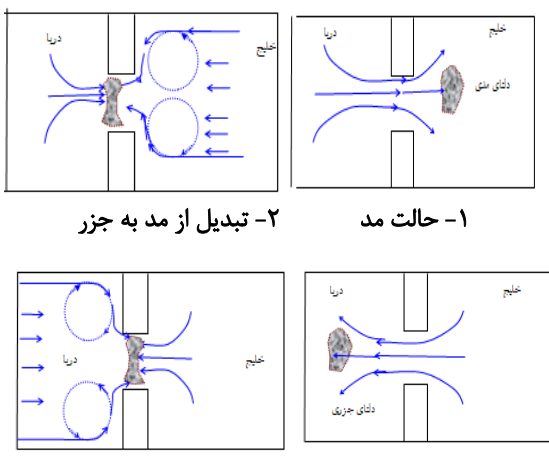


شکل ۱۲- تغییرات سرعت جریان و تغییرات بستر ناشی از جزر و مد با ارتفاع های مختلف در مقطع ۱.

شکل ۱۳- نمونه ای از الگوی جریان و رسوبگذاری جزر و مد با ارتفاع ۲/۵ متر با تناوب ۱۲ ساعت و موج با ارتفاع ۱/۵ متر با تناوب ۸ ثانیه در مقطع ۱.

دریا نسبت به ساحل بیشتر می‌شود. (نقاط ۱، ۲ و ۳ در شکل ۸). با افزایش ارتفاع موج، میزان ارتفاع مصب‌های بالادست و پایین دست مصب افزایش یافته، و قله آنها به سمت آب عمیق پیشروی می‌کند، در حالی که چاله‌ی ایجاد شده در وسط دهانه نیز ژرف تر شده و به سوی آب عمیق متمايل می‌گردد؛ به عبارت ساده‌تر، فرسایش در وسط آبراهه افزایش می‌یابد. با هجوم امواج مرتفع سرعت جریان ناشی از موج افزایش می‌یابد که این امر باعث افزایش انتقال رسوب و رشد نرخ تراز بستر در مناطق ساحلی (تحت موج عمود بر ساحل) می‌شود، Wu, (2011).

### ب- بررسی الگوی جریان و رسوبگذاری در مصب تحت اثر جزر و مد را می‌توان در چهار وضعیت مختلف، تشریح کرد.



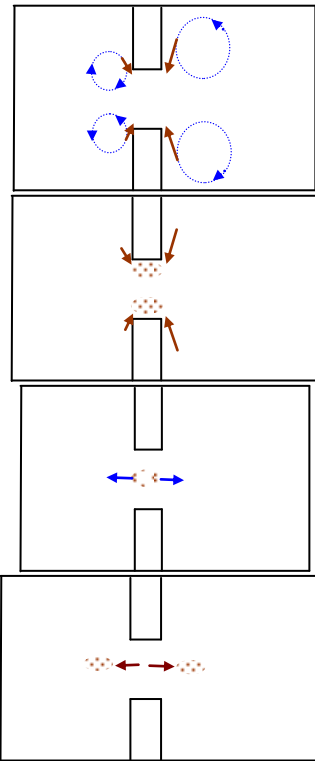
شکل ۱۵- الگوی جریان و رسوبگذاری ناشی از جزر و مد تنها در مصب (کرمی خانیکی و همکاران، ۱۳۹۰)

هنگام مد و در زمان جزر، جریان قبل از رسیدن به دهانه همگرا گردیده و ضمن عبور از آن بر سرعتش افزوده شده، و پس از عبور از دهانه‌ی مصب جریان مجدداً و آگرا گشته و به وضعیت قبل از مصب بر می‌گردد (شکل ۱۵). در این مراحل، دهانه دچار فرسایش شده و دلتاهای مدبی و جزری در طرفین مصب، شکل می‌گیرند. هنگام تغییر وضعیت از مد به جزر و یا بر عکس، تغییر جهت جریان با فرایند بسیار جالبی همراه است، بطوری‌که در مولده‌ی انتقال از مد به جزر، گردابه‌هایی در بالادست دهانه، و در طرفین آن، تشکیل می‌شود، که در حالت جزری نیز ادامه

### بحث و نتیجه‌گیری

#### الف- بررسی الگوی جریان و رسوبگذاری تحت

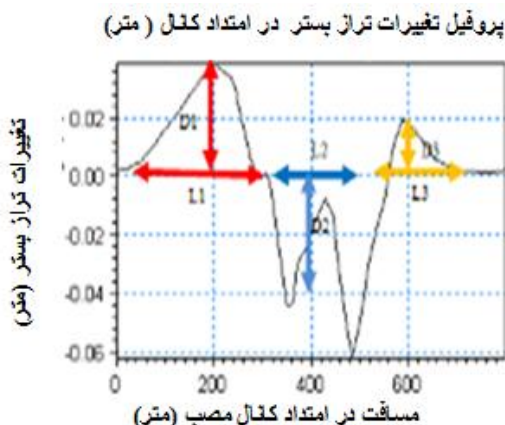
##### اثر موج و تأثیر ارتفاع موج:



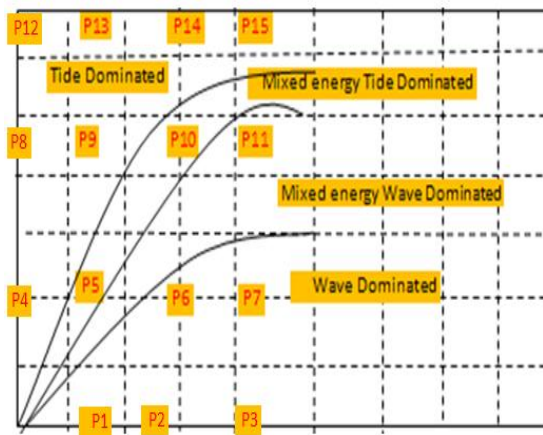
- ۱- انتقال رسوب به کناره‌های دهانه به وسیله‌ی جریانهای گردابی
- ۲- رسوبگذاری در کناره‌های عرضی آبراهه
- ۳- تخلیه‌ی دهانه به بالادست و پایین دست
- ۴- تشکیل مصبهای جزری و مدبی

شکل ۱۴- الگوی جریان و انتقال رسوب در مصب تحت اثر عملکرد امواج عمود بر ساحل (کرمی خانیکی و همکاران، ۱۳۹۰).

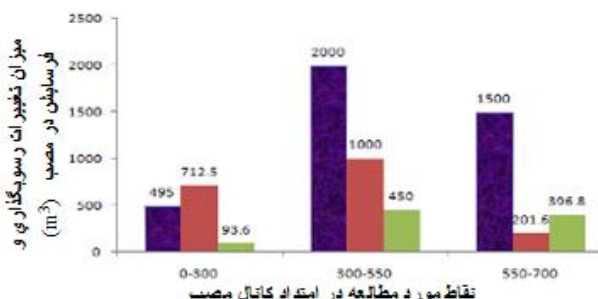
چهار گردابه در دو طرف دهانه‌ی مصب ایجاد می‌شود که منجر به انباستن رسوب در دیواره‌های عرضی مصب، و فرسایش در قسمتهای میانی و کم عمقی دهانه آبراهه گردد. گردابه‌ها آب و رسوب قسمت میانی آبراهه را به بالادست و پایین دست مصب منتقل کرده و تشکیل مصب مدبی و جزری را می‌دهند (شکل ۹). با افزایش ارتفاع موج، الگوی جریان تغییری نمی‌کند، هر چند سرعت و شعاع گردابه‌ها افزایش می‌یابد. در حین افزایش شعاع گردابه‌ها، نفوذ آنها به داخل دهانه نیز افزایش می‌یابد، این در حالی است که سرعت گردابه‌های سمت



شکل ۱۶، نیمرخ طول فرسایش در دهانه ( $L_2$ ) و رسوبگذاری قبل از دهانه ( $L_1$ ) و طول رسوبگذاری بعد از دهانه ( $L_3$ ) فرسایش در دهانه و ارتفاع رسوبگذاری قبل ( $D_1$ ) و بعد از دهانه ( $D_3$ ) و فرسایش در دهانه ( $D_2$ ) بر حسب متر



شکل ۱۷، تغییرات سرعت و تغییرات بستر ناشی از موج و جریان جزرومدی به صورت توأم (Hayes, 1979)



شکل ۱۸- مقایسه‌ی میزان تغییرات رسوبگذاری قبل (۰-۳۰۰) و بعد از دهانه (۵۵۰-۷۰۰) و فرسایش در دهانه (ستون قرمز) و برای موج تنها (ستون سبز)، جزر و مد تنها (ستون قرمز) و توأم (ستون آبی)

نتایج همانندسازی، الگوی جریان را به صورت دو گردابه در پایین دست مصب در حالت جزئی و مدل نشان

دارد. جهت این گردابه‌ها طوری است که رسوب را به داخل مصب هدایت کرده و باعث کم عمقی مصب، بخصوص در کناره‌ها می‌شود (نقاط ۴، ۸ و ۱۲ در شکل ۱۶). رسوبی که در این مرحله در دهانه تجمع می‌کند، پس از تکامل جریان جزری به سمت دریا رانده شده و در سمت دریا، دلتای جزری را تشکیل می‌دهد. هنگام تبدیل وضعیت از جزر به مد، دقیقاً عکس این پدیده اتفاق افتاده و مصب مدی در بالادست دهانه شکل می‌گیرد. افزایش دامنه‌ی جزر و مد تأثیری بر ماهیت این پدیده نگذاشته و تنها شدت آن را تغییر می‌دهد. با افزایش دامنه‌ی جزر و مد، ابعاد عوارض رسوبی در مصب افزایش می‌یابد، هر چند نرخ رشد مصب جزری با مصب مدی متفاوت است (Castelle, et al., 2004).

### ج- الگوی جریان و رسوبگذاری تحت اثر جزر و مد و موج به صورت توأم

برای بررسی الگوی جریان ناشی از تأثیر همزمان موج و جزر و مد، تأثیر آن بر رسوبگذاری و فرسایش در مصب، شبیه عددی حوضچه (شکل ۶)، برای ترکیب‌های مختلف موج و جزر و مد (جمعاً ۱۵ ترکیب) مطابق شکل ۱۶ و جدول (۱) اجرا شد. نتایج همانندسازی برای هر یک از ترکیب‌های فوق، در چهار حالت مد، جزر، تبدیل مد به جزر و تبدیل جزر به مد (شکل ۱۸)، اجرا گردید. بررسی الگوی جریان و انتقال رسوب تحت تأثیر موج و جزر و مد در مصبهای میزان رسوبگذاری و فرسایش قبل، بعد از آبراهه و در داخل آن که شامل طول فرسایش در دهانه ( $L_2$ ) و طول رسوبگذاری قبل از دهانه ( $L_1$ ) و طول رسوبگذاری بعد از دهانه ( $L_3$ ) و ارتفاع رسوبگذاری قبل ( $D_1$ ) و بعد از دهانه ( $D_3$ ) و فرسایش در دهانه ( $D_2$ ) بر حسب متر، تعیین نموده، سپس، نمودار میزان تغییرات رسوبگذاری و فرسایش، برای سه حالت موج تنها، جزر و مد تنها، و توأم رسم شد. شکل ۱۸ الگوهای رسم شده را در حالتهای مختلف جزر و مدی به نمایش می‌گذارد.

جزری، و حالت توأم باعث افزایش حجم مصب مدی می‌شود؛ بنابراین، جزر و مد نقش موثری در تغییر عوارض رسوی در بالادست دهانه و آبراهه را دارد، و امواج تناوب کوتاه و توأم نقش بسزایی را تغییر ریخت‌شناسی و انتقال رسوی در سمت ساحل دارند.

تأثیر فراسنج ارتفاع موج در انتقال رسوی و تغییر میزان رسویگذاری و فرسایش بسیار حائز اهمیت است؛ به همین منظور، الگوی جریان و رسویگذاری تحت اثر جزر و مد و موج به صورت توأم، بر اساس این فراسنج یعنی ارتفاع موج، ( نقاط ۵، ۶، ۷، ۹، ۱۰، ۱۱، ۱۲، ۱۳، ۱۴ و ۱۵ در شکل ۱۷)، را می‌توان در سه گروه مختلف به شکل زیر بیان کرد:

۱- در نقاط ۵، ۶، ۷ و ۱۱، که اندازه‌ی دامنه‌ی جزر و مد کم، و میزان ارتفاع موج نسبتاً زیاد است، عملکرد توأم موج و جزر و مد، تقریباً مشابه الگوی موج تنها (شکل ۱۴) می‌باشد. این حالت را اصطلاحاً حالت موج غالب (wave dominated) می‌نامیم. در این حالت عموماً چهار گردا به در طرفین مصب تشکیل گردیده و در بالادست و پایین دست و طرفین آبراهه، مصب کم عمقی داریم.

۲- در نقاط ۱۳، ۱۴ و ۱۵، که میزان دامنه‌ی جزر و مد زیاد و اندازه‌ی ارتفاع موج نسبتاً کم (امواج کوتاه) که ارتفاع آن از ۱.۵ متر کم تر است) است، عملکرد توأم موج و جزر و مد، تقریباً مشابه الگوی جزر و مد تنها (شکل ۱۵) می‌باشد. این حالت را اصطلاحاً حالت کشند غالب (Tide dominated) می‌نامیم. در این حالت عموماً دو گردا به در طرفین مصب بسته به وضعیت کشند تشکیل می‌شود؛ که به نوبه خود باعث ایجاد کم عمقی سمت ساحل در حالت مد (سیل کم ژرف) و کم عمقی سمت دریا در حالت جزر (گردا به کم ژرف) می‌گردد.

۳- در نقاط ۹ و ۱۰، که دامنه‌ی جزر و مد و ارتفاع موج حالت متعادلی دارند (هیچ کدام غالب نیستند)، عملکرد توأم موج و جزر و مد، با هر یک از الگوهای ۱۴ و ۱۵ فوق متفاوت خواهد بود. این حالت را اصطلاحاً حالت مخلوط یا اختلاطی (Mixed Energy) می‌نامیم.

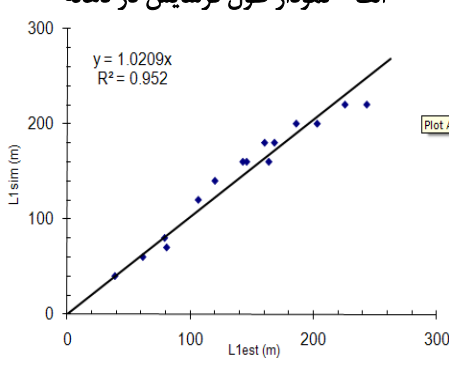
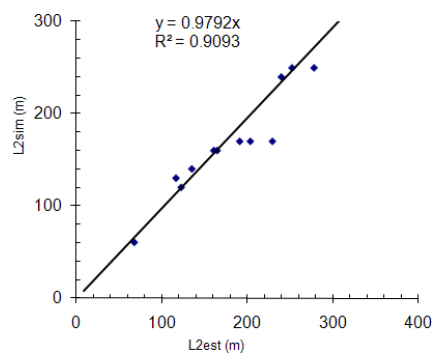
می‌دهد. این گردا به ها در مقایسه با گردا به های ایجاد شده در حالت جریان تنها، کوچکتر و دورتر می‌باشند. این نتایج با نتایج Wu, 2011 مطابقت دارند. عملکرد رسوی نشان می‌دهد که با هجوم امواج به طرف آبراهه، در نزدیک دهانه‌ی ورودی، روی ناحیه‌ی گردا به کم ژرف، شکسته شده و مواد بالادست را حرکت می‌دهد و پس از فرسایش آبراهه، تهنشستها را در نزدیک ساحل انباشته می‌کند، که با گذشت زمان و با شکست مجدد موج در نزدیک ساحل، حجم رسویها را در ناحیه‌ی پایین دست دهانه (flood shoal) افزایش می‌دهد. اما در این میان، جریانهای جزر و مدی، هنگام تبدیل مد به جزر، ریخت‌شناسی دهانه‌ی ورودی مصب را تغییر می‌دهند، به این ترتیب که رسویها پایین دست را در ناحیه گردا به کم ژرف انباشته می‌کنند و حجم آن را افزایش می‌دهند. ( نقاط ۵، ۶، ۷، ۹، ۱۰، ۱۲، ۱۴، ۲۳، ۱۵). با شکست امواج بعدی در دهانه‌ی مصب (روی مصب جزری) رسوی ها، حرکت داده شده، به طرف داخل آبراهه هدایت گردیده، و باعث مسطح شدن و کاهش ارتفاع مصب جزری می‌شوند. در حالت جزری و مدی، این تهنشستها به طرفین دهانه هدایت می‌شوند (شکل ۱۲). ذکر این نکته حائز اهمیت است که در این میان، میزان فرسایش در دهانه با حجم رسویها تهنشین شده در دو طرف دهانه برای هر سه حالت یکسان است؛ به عبارت دیگر، انتقال رسوی خالص تحت نیروی ثابت، صفر است. این در حالی است که انتقال رسوی همچنان وجود دارد (نمودار ۱۸)؛ بنابراین، می‌توان نتیجه گرفت که فرایند انتقال رسوی فعال بوده و با شبیه سازی موج، جریان و انتقال رسوی، به صورت توأم، ریخت‌شناسی مصب به گونه‌ای تغییر می‌کند که پس از گذشت زمان طولانی، به حالت تعادل می‌رسد که در این صورت، مصب، مطلوب خواهد بود. این موضوع با نتایج حاصل از تحقیقات ارتش آمریکا که در سال ۲۰۰۲ فرایند فرسایش مصبها را مورد مطالعه قرار دادند، مطابقت دارد.

با مقایسه نمودارهای جزر و مد تنها، موج تنها و توأم، و با توجه به شکل ۱۲ می‌توان گفت که فرسایش در دهانه‌ی مربوط به حالت موج تنها از فرسایش ناشی از حالت توأم کمتر است (Militello., 2003). این در حالی است که عامل جزر و مد باعث افزایش حجم مصب

فرسایش در مصب، بر حسب متر، می‌باشدند. شکل ۱۷ نمونه‌ای از تغییرات بستر ناشی از جزر و مد با ارتفاع ۲/۵ متر و موج با ارتفاع ۲/۲ متر است که نیمیرخ آن در امتداد آبراهه رسم شده است. شکل‌های ۱۸، ۱۹ و ۲۰ نمودار مقادیر تخمینی و نتایج حاصل از همانند سازی را مقایسه می‌کنند. معادلات هر یک از مقادیر عوارض رسوبی در زیر نمودارها آمده است.



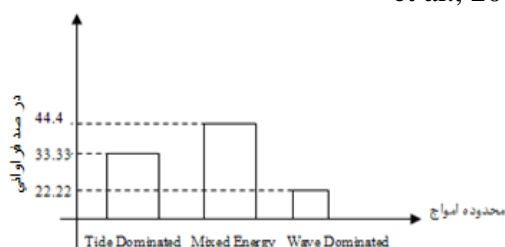
شکل ۲۰- نیمیرخ تغییرات رسوبگذاری و فرسایش در امتداد آبراهه (خطوط سیاه، محدوده نهر را نشان می‌دهد).



بنابر نتایج این تحقیق، چهار محدوده مختلف از نظر مقادیر نسبی ارتفاع موج و دامنه جزر و مد می‌توان تعريف نمود که عبارتند از:

$H_w/H_t > 1.5$	wave dominated
$1 \leq H_w/H_t < 1.5$	mixed energy (Tide Dominated)
$/H_t \geq 0.5$	mixed energy (Wave $H_w$ Dominated)
$H_w/H_t < 0.5$	Tide dominated

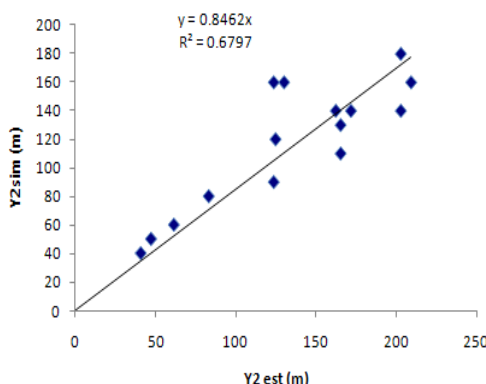
ارتفاع جزر و مد بر حسب متر است. محدوده جزر و مد غالب، موج غالب، کارمایه توأم (موج غالب) ارتفاع موج و  $H_w/H_t$  در روابط بالا و کارمایه توأم (جزر و مد غالب) برای ۱۵ نقطه در نمودار ۱۹ نشان داده شده‌اند. با توجه به این شکل، بیشترین فراوانی مربوط به حالت جزر و مد غالب، و سپس موج غالب، پس از آن حالت مختلط - جزر و مد غالب، و در نهایت مختلط - موج غالب خواهد. درصد فراوانی امواج در نمودار فراوانی (نمودار ستونی) شکل (۱۹) آورده شده است (Castelle et al., 2004).



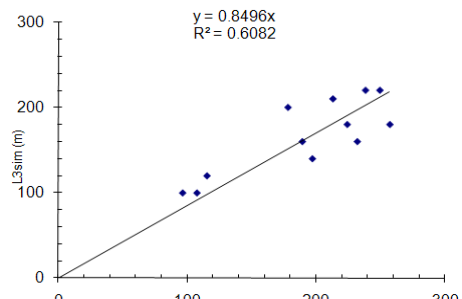
شکل ۱۹- نمودار فراوانی محدوده امواج

### محاسبه عوارض رسوبی ناشی اثر موج و جزر و مد به صورت توأم

همان‌طوری که در قسمت قبل دیدیم، مشخصه‌های امواج (ارتفاع و تنابع بخصوص ارتفاع) نقش مؤثری را در تغییر عوارض رسوبی در دارند. برای بررسی این عوامل، تغییرات بستر حاصل از همانند سازی را برای ۱۵ نقطه محاسبه کرده و پس از آن، معادلات عوارض رسوبی را بر حسب این دو فراسنج با استفاده از نرم افزار به دست آورده‌یم. در نهایت، نمودار هر یک را در امتداد آبراهه رسم کردیم. این نمودارها شامل  $L$ ،  $D$  (در شکل ۱۷) و  $\gamma$  (در شکل ۱۲) به ترتیب، طول، ارتفاع و عرض رسوبگذاری و

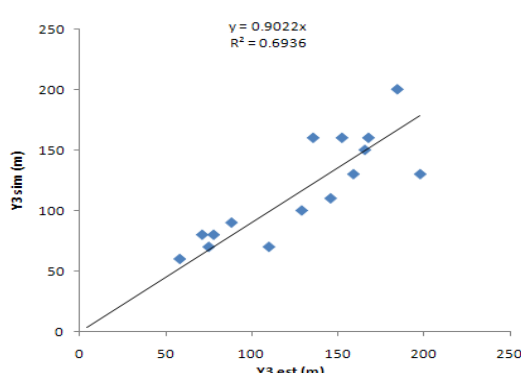


ب - نمودار رسوگذاری قبل از دهانه.



ج - نمودار طول رسوگذاری بعد از دهانه.

شکل ۲۱- نمودار طول رسوگذاری و فرسایش در مصب.



ج - نمودار عرض رسوگذاری بعد از دهانه.

شکل ۲۲- نمودار عرض رسوگذاری و فرسایش در مصب.

(۴)

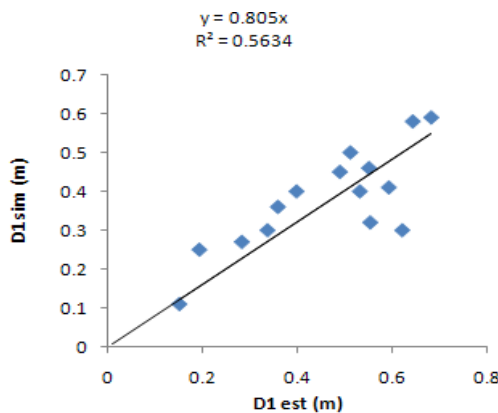
$$Y_1\text{est} = Y_1\text{tide} + Y_1\text{wave} = 1.093H_t^{-0.045} \times T_t^{0.538} + 6.488H_w^{0.656} \times T_w^{0.955}$$

(۵)

$$Y_2\text{est} = Y_2\text{tide} + Y_2\text{wave} = 0.392H_t^{-0.446} \times T_t^{0.654} + 5.186H_w^{-0.384} \times T_w^{1.135}$$

(۶)

$$Y_3\text{est} = Y_3\text{tide} + Y_3\text{wave} = 0.393H_t^{0.029} \times T_t^{0.699} + 14.012H_w^{0.605} \times T_w^{0.9}$$



الف - نمودار ارتفاع رسوگذاری قبل از دهانه.

$$L_1\text{est} = L_1\text{tide} + L_1\text{wave} = \\ 0.968H_t^{-0.314} \times T_t^{0.625} + 6.488H_w^{0.656} \times T_w^{0.955}$$

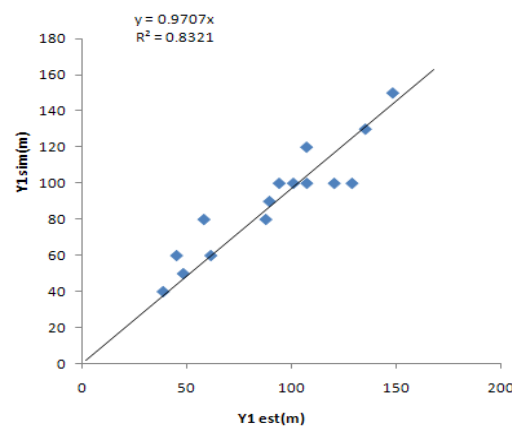
(۱)

$$L_2\text{est} = L_2\text{tide} + L_2\text{wave} = \\ 0.922H_t^{0.586} \times T_t^{0.526} + 1.01H_w^{-0.183} \times T_w^{0.619}$$

(۲)

$$L_3\text{est} = L_3\text{tide} + L_3\text{wave} = \\ 0.951H_t^{0.119} \times T_t^{0.654} + 14.318H_w^{0.512} \times T_w^{0.909}$$

(۳)



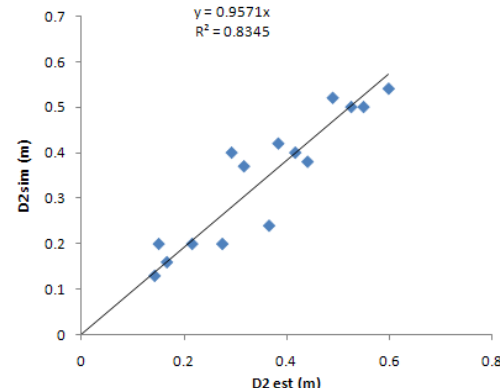
الف - نمودار عرض فرسایش در دهانه.

رسوبگذاری و فرسایش با مقادیر شبیه سازی مطابقت دارند.

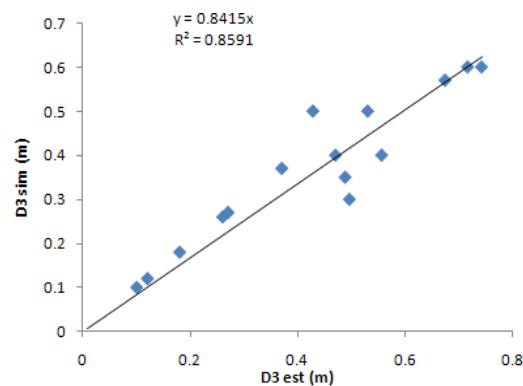
با توجه به مطالب یاد شده در بالا، می‌توان گفت که به علت پیچیده بودن الگوی جریان و رسوبگذاری در حالت توأم، برای محاسبه عوارض رسوبی در مصب، ابتدا هر یک را بطور جداگانه، تحت موج تنها و جزر و مد تنها، تعیین کرده، سپس مجموع مقادیر را محاسبه می‌نماییم. مقادیر به دست آمده با مقادیر در حالت توأم، یکسانند. لازم به ذکر است که با توجه به ضرایب وایازی، مقادیر توأم و حالت تنها با خطا همراهند. پیش بینی می‌شود که جمله‌های غیر خطی، و عواملی نظری بر همکنش موج و جریان، و همچنین جزر و مد، جریانهای برگشتی از ساحل یا زبانه‌های سدی، جریان امواج بازگشتی، شکست موج در منطقه‌ی خیزاب ساحلی نقش موثری را در این باره داشته باشد، که باید در نظر گرفته شده، و در نهایت محاسبه و در روابط لحاظ گردد، که در اینجا در نظر گرفته نشد.

#### منابع

1. کرمی خانیکی، ع. م. سادات کیایی و ع. علی اکبری بیدختی، ع. ۱۳۹۰، بررسی الگوی جریان و انتقال رسوب در مصبهای تحت اثر امواج عمود بر ساحل با استفاده از یک شبیه عددی، دوازدهمین همایش صنایع دریایی بین المللی ایران، کیش.
2. Castelle B., Bourge, J., Molnar, Strauss, N. D., Deschamps, S. and Tomlinson, R. 2004. Dynamics of a wave-dominated tidal inlet and influence on adjacent beaches, Currumbin Creek, Gold Coast, Australia, Coastal Engineering 54 (2004) 77–90.
3. Cayocca, F. 2001, Long-term morphological modeling of a tidal inlet: The arcachon basin, France, Coastal Eng 42: 115–142.
4. Chen J. L., Hsu, T., and Fachin Shi. 2012. Numerical modeling of hydrodynamics and sediment transport of New River Inlet (NC) using Near COM-TVD, Center for Applied Coastal Research, Civil & Environmental Engineering University of Delaware, and Newark, DE 19716, USA.



ب- نمودار ارتفاع فرسایش در دهانه.



ج- نمودار ارتفاع رسوبگذاری بعد از دهانه.

شکل ۲۳- نمودار ارتفاع رسوبگذاری و فرسایش در مصب.  
(۷)

$$D_1 \text{est} = D_1 \text{tide} + D_1 \text{wave} = 0.203H_t^{-0.414} \times T_t^{0.041} + 0.261H_w^{0.267} \times T_w^{0.103} \quad (8)$$

$$D_2 \text{est} = D_2 \text{tide} + D_2 \text{wave} = 0.139H_t^{0.243} \times T_t^{0.07} + 0.261H_w^{0.294} \times T_w^{0.294}$$

معادلات نشان می‌دهند که با کاهش ارتفاع موج و جزر و مد، تنها، حالت توأم حجم مصب جزئی کاهش خواهد یافت. همچنین، با افزایش ارتفاع، طول و عرض فرسایش در دهانه کاستی خواهد پذیرفت. در سمت ساحل، افزایش ارتفاع موج، موجب کاهش طول رسوبگذاری، و افزایش ارتفاع و عرض رسوبگذاری می‌شود. بنابراین، هجوم امواج مرتفع باعث کاهش حجم مصب جزئی و افزایش فرسایش در آبراهه می‌گردد. همچنین، تغییر ارتفاع امواج موجب تغییر عوارض رسوبی در مصب خواهد شد، به گونه‌ای که در هر حالت، میزان فرسایش در آبراهه، با رسوبگذاری در طرفین دهانه یکسان می‌باشد. علاوه بر آن، نمودارها نشان می‌دهند که مقادیر تخمینی

14. Sorensen, O. R., Hansen, H. K. and Oliver, J. P. 2006. Numerical modeling of wave-current interaction in tidal areas using an unstructured finite volume technique. Proc. 30 th Int Conf Coastal Eng 2006, San Diego, California, USA. 1: 653-665.
15. US Army Corps of Engineers, 2001. Coastal Engineering Manual.
16. Warner, J. C., C. R., Sherwood, R.P., Signell, C., Harris, and H.G., Arango, 2008. Development of a three-dimensional, regional, coupled wave, current, and sediment-transport model. Comput. Geosci, 34: 1284-1306.
17. Wu L., Changsheng, C., Peifang, G., Maochong, S., Jianhua, Q.I. and Jianzhong, G.E. 2011. A FVCOM-Based unstructured grid wave, current, sediment. *J. Ocean Univ. China* (Oceanic and Coastal Sea Research). Transport Model, I. Model Description and Validation. 1:1212-124
5. Davis, R.A., and Hayes, M.O. 1979. What is a wave-dominated coast? Mar. Geol. 60: 313 329.
6. DHI. 2007. Mike21's User Manual; Danish Hydraulics Institute, Denmark.
7. Ding Y., Wang Sam, S.Y. 2010, Modeling of wave- current interaction using a multi directional wave action balance equations. Coastal.67:, 145-158.
8. Fiechter J., Kelly, L., Christopher, S., Mooers, N.K. and Kraus, B. 2006. Hydrodynamics and sediment transport in a Florida tidal inlet. Estuarine, Coastal and Shelf Sci 70:, 297-304
9. FitzGerald, D. M., Kraus, N.C., and Hands, E. B. 2001. "Natural mechanisms of sediment bypassing at tidal inlets," ERDC/CHL CHETN-IV-30, U.S. Army Engineer Research and Development Center, Vicksburg, MS.
10. Grant, W. D., and Madsen, O. S. 1979. Combined wave and current interaction with a rough bottom. J. Geophys. Res. 84 (C4): 1797-1808.
11. Hayes, M.O. 1979. Barrier island morphology as a function of tidal and wave regime. p. 1-28 In: S.P. Leatherman, S.P. (ed.), Barrier Islands, from the Gulf of St Laurence to the Gulf of Mexico. Academic Press, N.Y.
12. Militello, A. C., Kraus, N. N. 2003 "Numerical simulation of sediment pathways at an Idealized Inlet and ebb shoal" Proc Coastal Sediments 03.CD -ROM published by World Scientific Publishing Crop , and East Meets West Productions. Corpus Christi ,Texas, USA.ISBN 981-238-422-7.
13. Morris B D., Davidson, M. A. and Huntley, D. A. 2001, Estimates of the seasonal morphological evolution of the Barra Nova Inlet using video techniques. Continental Shelf Research 263-278.

